

12,13

## Нелинейные $s$ -поляризованные квазиповерхностные волны в симметричной структуре с сердцевинной из метаматериала

© О.В. Коровай

Приднестровский государственный университет им. Т.Г. Шевченко,  
Тирасполь, Молдова

E-mail: olesya-korovai@mail.ru

(Поступила в Редакцию 12 декабря 2014 г.  
В окончательной редакции 13 января 2015 г.)

Построена теория нелинейных  $s$ -поляризованных квазиповерхностных волн, распространяющихся в симметричной планарной трехслойной структуре с сердцевинной из метаматериала и нелинейными обкладками. Показано, что в такой структуре возможно существование только нелинейных квазиповерхностных волн. Получены и исследованы законы дисперсии и потоки энергии симметричных, четных и нечетных мод при различных значениях параметров. Качественное поведение законов дисперсии существенно зависит от толщины сердцевинной.

### 1. Введение

В последние годы в связи с интенсивным развитием волоконной оптики стремительно возрос интерес к созданию новых типов световодов. Это обусловлено возрастающей потребностью в повышении пропускной способности и эффективности волоконно-оптических систем связи. Создание многослойных световодов с широкой полосой пропускания, ступенчатых, полых волокон, микроструктурированных, фотонно-кристаллических, обладающих высоким коэффициентом отражения для излучения, распространяющегося вдоль полой сердцевинной, позволяет существенно снизить оптические потери.

В ряде работ изучены нелинейные явления в средах с отрицательным преломлением электромагнитного излучения [1,2]. В [3] анализировалось распространение электромагнитных волн в диспергирующих средах и были изучены явления, возникающие на границе раздела с гиротропной средой. В [4] показана возможность существования поляритонных волн с отрицательной групповой скоростью на оптических частотах. Наряду с этим активно изучается возможность создания световодов с использованием метаматериалов в качестве сердцевинной или обкладок [5–7]. В работах [8,9] исследуются свойства ТЕ-поляризованных и ТМ-поляризованных нелинейных поверхностных волн на границе раздела между нелинейной керровской средой и средой из метаматериала. В [10–12] показано существование волн с различной поляризацией на границах раздела между нелинейными керровскими средами и метаматериалами. В [13] изучены свойства нелинейных ТЕ-поляризованных поверхностных и волноводных мод в несимметричной трехслойной структуре с линейными обкладками и сердцевинной с керровской нелинейностью, причем линейные фоновые компоненты диэлектрической и магнитной вос-

приимчивостей отрицательны. Предсказано существование щелевого солитона в антинаправленном ответвителе, описаны свойства солитонов в квадратично- и кубично-нелинейных средах с отрицательным преломлением на частоте основной волны [14–17]. Поэтому исследование особенностей распространения лазерного излучения в метаматериалах представляет несомненный интерес.

### 2. Постановка задачи и основные уравнения

Изучим распространение нелинейных ТЕ-поляризованных квазиповерхностных волн в симметричной трехслойной структуре (рис. 1). Полагаем, что световод состоит из линейной пластинки толщиной

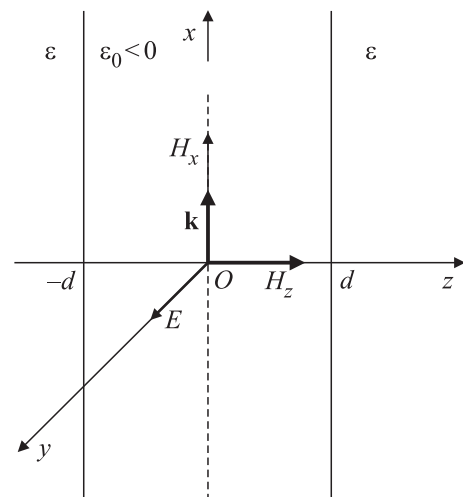


Рис. 1. Геометрия задачи и направления компонент полей.

$2d(-d \leq z \leq +d)$ , характеризующейся постоянной диэлектрической  $\epsilon_0 < 0$  и магнитной  $\mu_0 < 0$  проницаемостями, и полубесконечных нелинейных полупроводниковых обкладок, в которых распространяющаяся световая волна благодаря процессу оптической экситон-биэкситонной конверсии может возбуждать экситоны из основного состояния кристалла и одновременно превращать их в биэкситоны (рис. 1).

Используем выражение для диэлектрической функции  $\epsilon$  нелинейной среды, зависящей от частоты  $\omega$  и амплитуды  $E$  электромагнитного поля распространяющейся волны, полученное в [18–23]:

$$\epsilon = \epsilon_\infty \left( 1 - \frac{\omega_{\text{LT}}}{\Delta} \frac{E_S^4}{(E_S^2 - E^2)^2} \right), \quad (1)$$

где  $E_S^2 = 2\Delta^2/\sigma^2$ ,  $\Delta = \omega - \omega_0$  — расстройка резонанса для частоты  $\omega$  распространяющейся волны относительно частоты  $\omega_0$  экситонного перехода,  $\omega_{\text{LT}} = 4\pi\hbar g^2/\epsilon_\infty$  — частота продольно-поперечного расщепления экситонного состояния,  $\epsilon_\infty$  — фоновая диэлектрическая постоянная,  $\sigma$  — константа оптической экситон-биэкситонной конверсии,  $g$  — константа экситон-фотонного взаимодействия.

Изучим закономерности стационарного распространения ТЕ-поляризованных квазиповерхностных волн в геометрии, показанной на рис. 1. Полагаем, что электромагнитная волна распространяется вдоль оси  $x$  и характеризуется волновым вектором  $\mathbf{k}$ . Поле ТЕ-поляризованной волны содержит поперечные электрическую  $E$  (параллельную оси  $y$ ) и магнитную  $H_z$ , а также продольную компоненту магнитного поля  $H_x$ . Из уравнений Максвелла получаем следующие волновые уравнения, описывающие пространственное распределение электрического поля электромагнитной волны в стационарном режиме:

$$\frac{d^2 E}{dz^2} = \frac{\omega^2}{c^2} \left( n^2 - \epsilon_\infty \left( 1 - \frac{\omega_{\text{LT}}}{\Delta} \frac{E_S^4}{(E_S^2 - E^2)^2} \right) \right) E, \quad |z| \geq d, \quad (2)$$

$$\frac{d^2 E}{dz^2} = \frac{\omega^2}{c^2} (n^2 + \epsilon_0) E, \quad |z| \leq d, \quad (3)$$

где  $n = ck/\omega$  — эффективный показатель преломления среды,  $c$  — скорость света в вакууме. Поскольку мы ищем ограниченные в пространстве квазиповерхностные волны, энергия которых локализована в окрестности границ раздела  $|z| = d$ , при решении уравнения (2) необходимо удовлетворить условиям обращения в нуль амплитуды поля и ее производной на бесконечности

$$\lim_{z \rightarrow \pm\infty} E \rightarrow 0, \quad \lim_{z \rightarrow \pm\infty} dE/dz \rightarrow 0. \quad (4)$$

Вводя новую переменную  $\bar{z} = \frac{\omega}{c} z$  и интегрируя (2), (3) с учетом (4), получим интеграл движения

$$\left( \frac{dE}{d\bar{z}} \right)^2 + W(E) = 0, \quad (5)$$

где

$$W(E) = -E^2 \left( n^2 - \epsilon_\infty + \epsilon_\infty \frac{\omega_{\text{LT}}}{\Delta} \frac{E_S^2}{E_S^2 - E^2} \right), \quad |z| \geq d, \quad (6)$$

$$W(E) = -E^2 (n^2 + \epsilon_0), \quad |z| \leq d. \quad (7)$$

Здесь  $W(E)$  играет роль потенциальной энергии нелинейного осциллятора, движение которого описывается первым интегралом (5). Анализируя выражения (2), (3) и (5)–(7), легко прийти к выводу, что при  $\epsilon_0 < 0$  волноводные моды в исследуемой нами структуре не существуют.

Представим выражение (6) в виде  $W(E) = -E^2(n^2 - \epsilon^*)$ , где в соответствии с (6)

$$\epsilon^* = \epsilon \left( 1 - \frac{\omega_{\text{LT}}}{\Delta} \frac{E_S^2}{E_S^2 - E^2} \right) \quad (8)$$

— эффективная диэлектрическая функция среды. Анализ уравнения (5) показывает, что решения в виде нелинейных квазиповерхностных мод существуют для тех значений амплитуды поля  $E(x)$ , для которых  $W(E) \leq 0$ , т.е. решения возможны при  $\Delta > 0$ ,  $n^2 \geq \epsilon_0$ , и  $n^2 > \epsilon_{\text{ex}} = \epsilon_\infty \left( 1 - \frac{\omega_{\text{LT}}}{\Delta} \right)$ ,  $\epsilon^*$ , откуда следует, что нелинейные квазиповерхностные волны могут существовать только в коротковолновой области относительно частоты экситонного перехода.

Решения уравнения (3) в виде четных и нечетных симметричных нелинейных квазиповерхностных волн запишем в виде

$$E = \frac{C}{q_0} \text{ch}(q_0 \bar{z}), \quad (9)$$

$$E = \frac{C}{q_0} \text{sh}(q_0 \bar{z}), \quad (10)$$

где  $q_0 = \sqrt{n^2 + \epsilon_0}$ , а  $C$  — константа интегрирования. Удовлетворим условию сохранения тангенциальных компонент электрического и магнитного полей на границе раздела сред в точке  $\bar{z} = D$ . Используя (9), (10) и (5), получаем

$$q_0 \text{th}(q_0 D) = \sqrt{n^2 - \epsilon_\infty + \epsilon_\infty \frac{\omega_{\text{LT}}}{\Delta} \frac{E_S^2}{E_S^2 - E_0^2}}, \quad (11)$$

$$q_0 \text{cth}(q_0 D) = \sqrt{n^2 - \epsilon_\infty + \epsilon_\infty \frac{\omega_{\text{LT}}}{\Delta} \frac{E_S^2}{E_S^2 - E_0^2}}. \quad (12)$$

Выражения (11), (12) являются дисперсионными соотношениями, которые определяют зависимость эффективного показателя преломления среды  $n$  от расстройки резонанса  $\Delta$  при фиксированных значениях толщины

пленки  $D$ . Амплитуду поля на границе раздела сред  $E_0$  трудно контролировать экспериментально, поэтому для постановки эксперимента необходимо наличие контролируемой характеристики, которой является поток энергии  $P$ , переносимой распространяющейся волной. Полный поток энергии в сечении волновода  $P$  состоит из линейного потока  $P_L$  в сердцевине и нелинейного потока  $P_{NL}$  в обкладках, которые определяются выражениями

$$P_L = \frac{c^2 n}{4\pi\omega} \frac{E_0^2}{4q_0 \operatorname{ch}^2(q_0 D)} (\operatorname{sh}(2q_0 D) - 2q_0 D), \quad (13)$$

$$P_L = \frac{c^2 n}{4\pi\omega} \frac{E_0^2}{4q_0 \operatorname{sh}^2(q_0 D)} (\operatorname{ch}(2q_0 D) - 2q_0 D), \quad (14)$$

$$P_{NL} = \frac{c^2 n}{8\pi\omega q} \frac{1}{q} \left\{ E_s E_m + \sqrt{(E_s^2 - E_0^2)(E_m^2 - E_0^2)} + (E_s^2 - E_m^2) \ln \frac{\sqrt{E_s^2 - E_0^2} + \sqrt{E_m^2 - E_0^2}}{E_s - E_m} \right\}. \quad (15)$$

Исключая  $E_0$  из выражений (11), (12) с помощью (15), получаем зависимость эффективного показателя преломления нелинейного световода  $n$  от потока энергии, переносимой волной  $P(n, \Delta)$ .

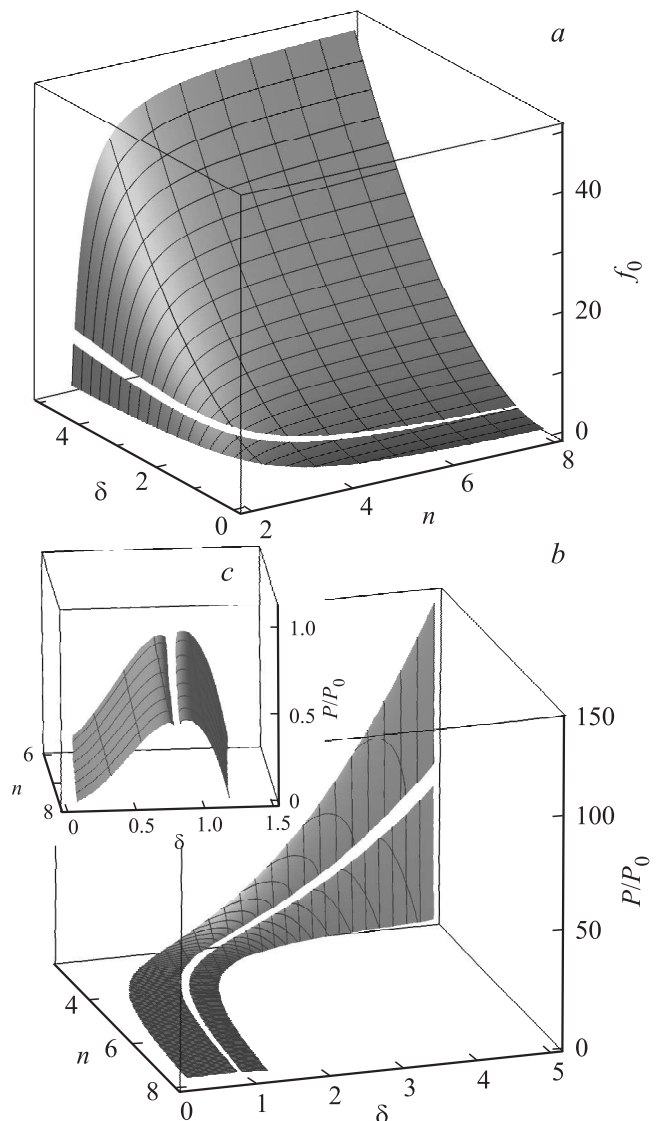
### 3. Обсуждение результатов

Рассмотрим подробнее поведение потока энергии и закона дисперсии нелинейных квазиповерхностных волн. Далее будем использовать нормированные на величину продольно-поперечного расщепления  $\omega_{LT}$  расстройку резонанса  $\Delta$  и частоту Раби  $\sigma E_0$ :  $\delta = \Delta/\omega_{LT}$ ,  $f_0 = \sigma E_0/\omega_{LT}$ . Исследуем характер поведения нелинейной четной квазиповерхностной волны (9). Изучим поведение дисперсионных кривых  $n(\delta, f_0)$  нелинейной четной квазиповерхностной волны. Из (5) следует, что  $n^2 > \epsilon_0$ ,  $\epsilon^*$ ,  $\epsilon_{ex}$ , где  $\epsilon^* = \epsilon_\infty (1 + |\delta|/(\delta^2 - f_0^2/2))$ .

Следовательно, нелинейные четные квазиповерхностные волны существуют только в спектральной области  $\delta > 0$ .

Из рис. 2, *a* видно, что при малом значении параметра  $D$  кривые  $f_0(n)$  при фиксированных значениях  $\delta$  характеризуются монотонным возрастанием, величина поля на границе раздела  $f_0$  растет с ростом расстройки резонанса. При фиксированном значении  $\delta$  кривая  $f_0(n)$  начинается с точки  $n = \sqrt{\epsilon_\infty}$ . Кроме того, на поверхности  $n(\delta, f_0)$  существует узкая область запрещенных значений  $n$ , определяемых условием  $n \leq \sqrt{\epsilon^*}$ , при которых не существует квазиповерхностная четная волна. Ширина этой области сужается при увеличении  $n$ .

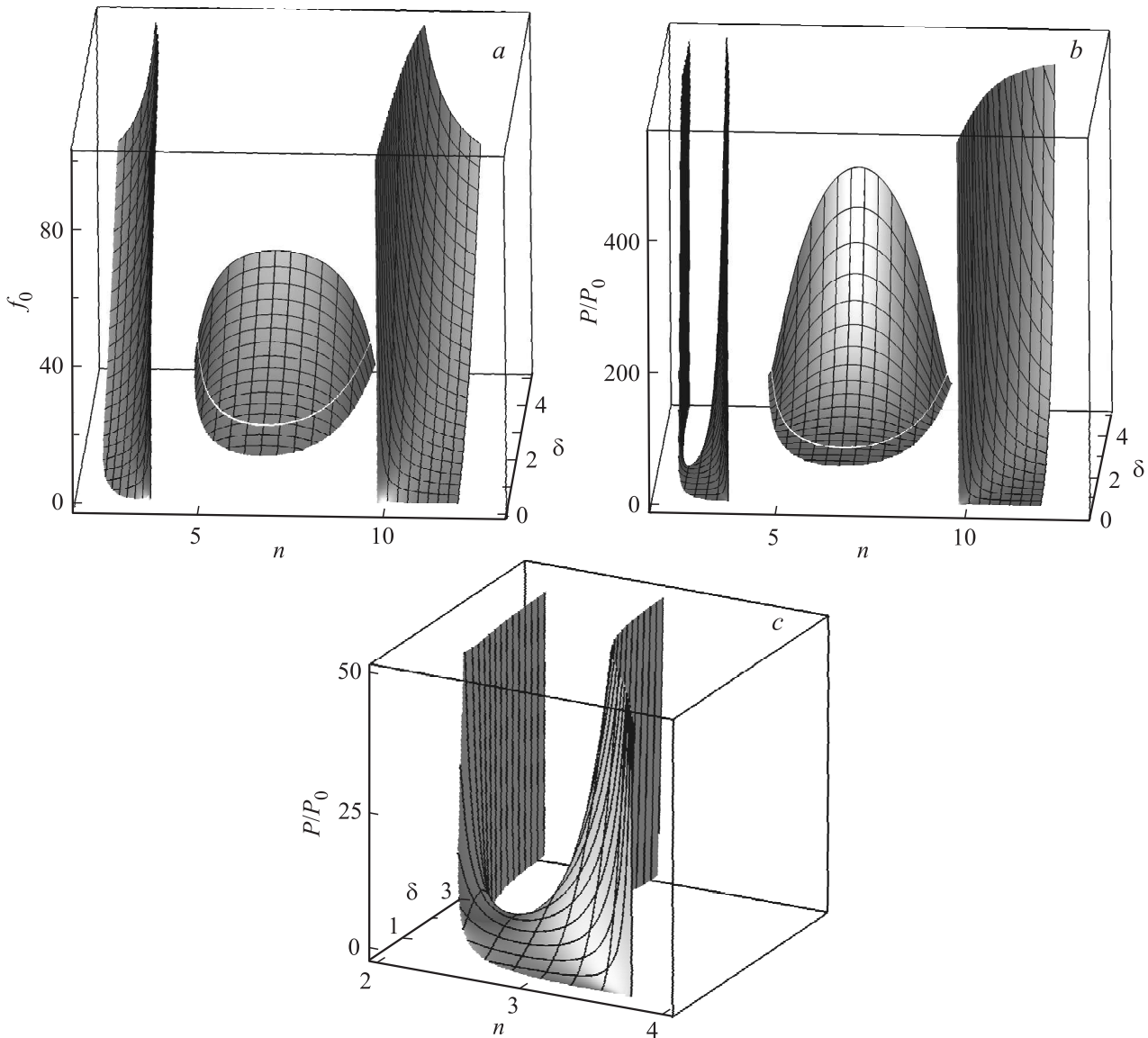
Что касается кривых потока  $P(n, \delta)$ , то из рис. 2, *b* видно, что поток представляет собой поверхность, которая при малых значениях эффективного показателя преломления  $n$  состоит из двух непересекающихся частей, каждая из которых характеризуется наличием мак-



**Рис. 2.** Закон дисперсии (*a*) и поток энергии (*b, c*) симметричных ТЕ-поляризованных четных квазиповерхностных волн при значениях параметров  $\epsilon_0 = -7$ ,  $\epsilon_\infty = 5$ ,  $D = 0.001$ .

симума. При фиксированном значении  $n$  поток сначала быстро растет с ростом  $\delta$ , достигает максимума, затем незначительно убывает. При увеличении значений  $n$  максимумы потока уменьшаются. Кроме того, обе части поверхности сближаются. Величина максимумов обеих частей поверхности потока очень мала, что свидетельствует о малых энергиях, переносимых четной квазиповерхностной волной при данных значениях параметров.

Дальнейшее увеличение значения параметра  $D$  приводит к качественному изменению поведения кривых закона дисперсии квазиповерхностной четной моды. Из рис. 3, *a* видно, что закон дисперсии представляет собой поверхность  $n(\delta, f_0)$ , состоящую из трех непересекающихся областей, разделенных областями запрещенных значений эффективного показателя преломления  $n$ . Первая область характеризуется резким возрастани-

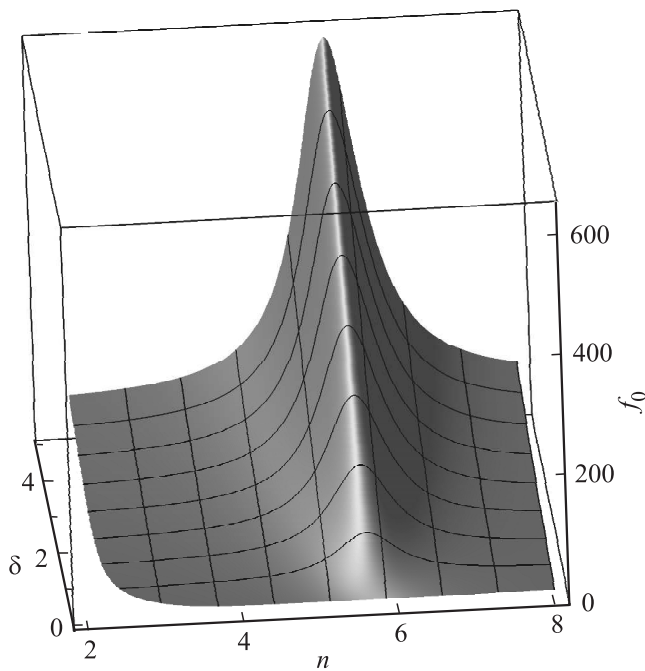


**Рис. 3.** Закон дисперсии (a) и поток энергии (b,c) симметричных ТЕ-поляризованных четных квазиповерхностных волн при значениях параметров  $\epsilon_0 = -7$ ,  $\epsilon_\infty = 5$ ,  $D = 0.171$ .

ем кривых  $f_0(n)$  при увеличении значений  $n$ . Вторая возникает только при некоторых значениях расстройки резонанса  $\delta$  и характеризуется наличием максимума, величина которого растет с ростом  $\delta$ , а также узкой областью запрещенных значений  $n$ , определяемых условием  $n \leq \sqrt{\epsilon^*}$ . Третья область характеризуется резким убыванием кривых  $f_0(n)$  при увеличении значений параметра  $n$ . Наличие разрывов обусловлено значениями  $n$ , определяемыми решением уравнения  $(\epsilon_\infty - \epsilon_0) \text{ch}^2((n^2 - \epsilon_0)D^2) = n^2 - \epsilon_0$ . Что касается кривых потока, то качественное их поведение в зависимости от значений эффективного показателя преломления  $n$  подобно поведению закона дисперсии (рис. 3, b). Поток также существует в трех непересекающихся областях, однако в области малых значений  $\delta$  существует мак-

симум кривых  $P(\delta)$ , величина которого уменьшается с ростом  $n$  (рис. 3, c).

На рис. 4 представлены кривые закона дисперсии квазиповерхностной четной моды при дальнейшем увеличении параметра  $D$  ( $D = 0.192$ ). Видно, что при данном значении параметра  $D$  три области кривых закона дисперсии объединились в одну поверхность, характеризуемую наличием ярко выраженного максимума кривых  $f_0(n)$ , величина которого зависит от значения расстройки резонанса  $\delta$ . С ростом  $\delta$  величина максимума возрастает. Поведение кривых потока качественно повторяет поведение кривых закона дисперсии, однако в области малых значений  $\delta$  сохраняется максимум кривых  $P(\delta)$ . Дальнейшее увеличение толщины пластинки приводит к исчезновению максимума



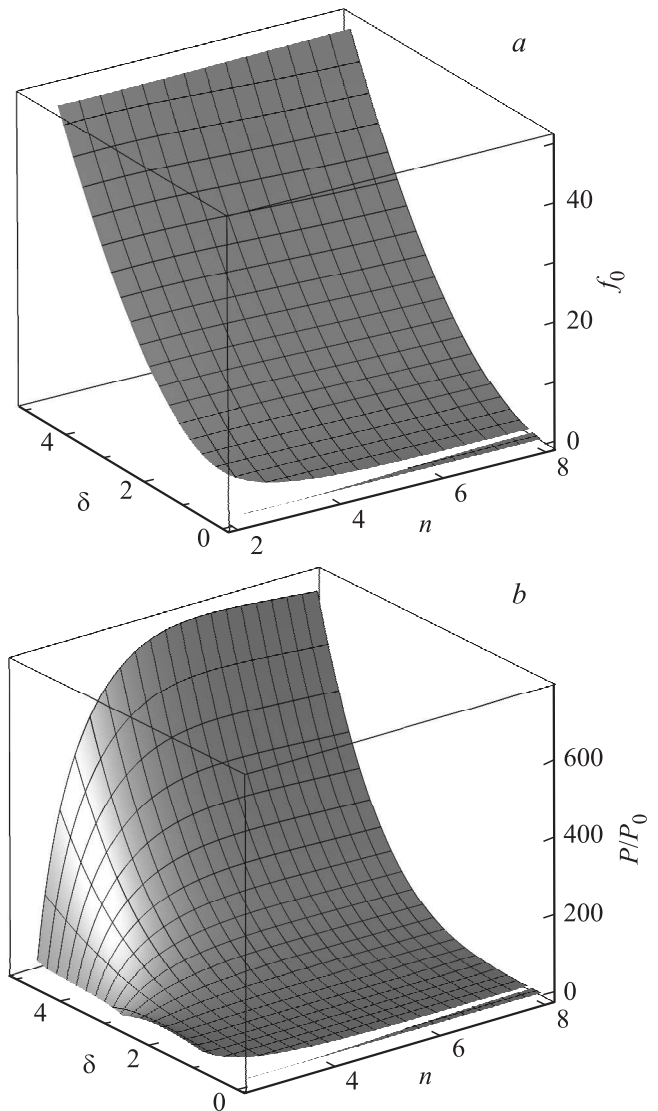
**Рис. 4.** Закон дисперсии симметричных ТЕ-поляризованных четных квазиповерхностных волн при значениях параметров  $\epsilon_0 = -7, \epsilon_\infty = 5, D = 0.192$ .

кривых  $f_0(n)$  (рис. 5, *a*). Закон дисперсии представляет собой монотонно возрастающую при увеличении  $\delta$  поверхность. В области малых расстройок резонанса  $\delta$  наблюдается разрыв кривых  $f_0(n)$ , т.е. возникает область запрещенных значений частот, в которых четная квазиповерхностная мода не существует. Что касается кривых нормированного потока  $P(\delta)$ , то качественное поведение повторяет поведение кривых закона дисперсии (рис. 5, *b*). Однако, в области малых расстройок резонанса  $\delta$  при данном значении толщины пластинки  $D$  исчезает максимум кривых потока, величина потока существенно уменьшается.

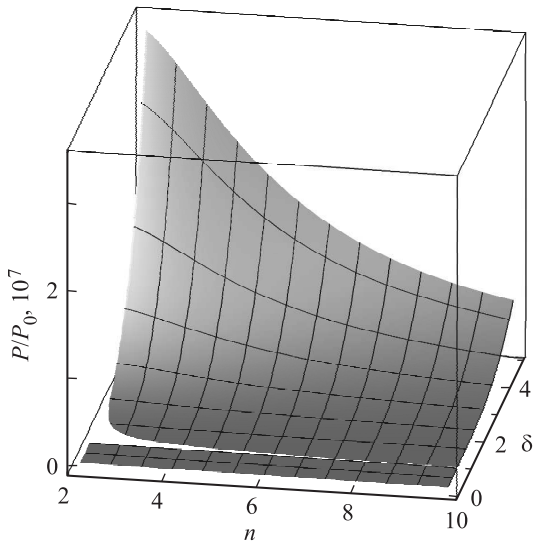
Рассмотрим поведение закона дисперсии квазиповерхностной нечетной моды, описываемой уравнением (10). Поведение дисперсионных кривых  $n(\delta, f_0)$  при малых значениях параметра  $D$  характеризуется монотонно возрастающими кривыми  $f_0(n)$  при увеличении расстройки резонанса  $\delta$ . Характер поведения кривых не меняется при изменении показателя преломления  $n$ . На рис. 6 представлены кривые потока  $P(\delta)$  квазиповерхностной нечетной моды, качественно повторяющие поведение кривых закона дисперсии. Поток монотонно убывает при увеличении значений показателя преломления  $n$ . При увеличении расстройки резонанса  $\delta$  существенно возрастает величина потока, переносимого квазиповерхностной нечетной модой.

Увеличение параметра  $D$  ( $D = 0.207$ ) приводит к изменению характера поведения кривых закона дисперсии (рис. 7, *a*). Видно, что при данном значении толщины пластинки закон дисперсии квазиповерхностной нечет-

ной моды состоит из двух неперекрывающихся областей, разделенных областью запрещенных значений показателя преломления  $n$ , границы которой определяются решением уравнения  $(\epsilon_\infty - \epsilon_0) \text{sh}^2((n^2 - \epsilon_0)D^2) = n^2 - \epsilon_0$ . Каждая из областей характеризуется убыванием кривых  $f_0(n)$  при возрастании значений  $n$ . Значение поля  $f_0$  на границе раздела возрастает при увеличении расстройки резонанса  $\delta$ . На рис. 7, *b* представлено поведение кривых нормированного потока квазиповерхностной нечетной моды. Он состоит из двух неперекрывающихся поверхностей  $P(\delta, n)$ , разделенных запрещенными значениями  $n$ . Первая характеризуется наличием максимума, величина которого возрастает при увеличении расстройки резонанса  $\delta$ . В области малых значений  $n$  (рис. 7, *c*) кривые потока  $P(\delta)$  первой области характеризуются резким возрастанием. Для второй области наблюда-



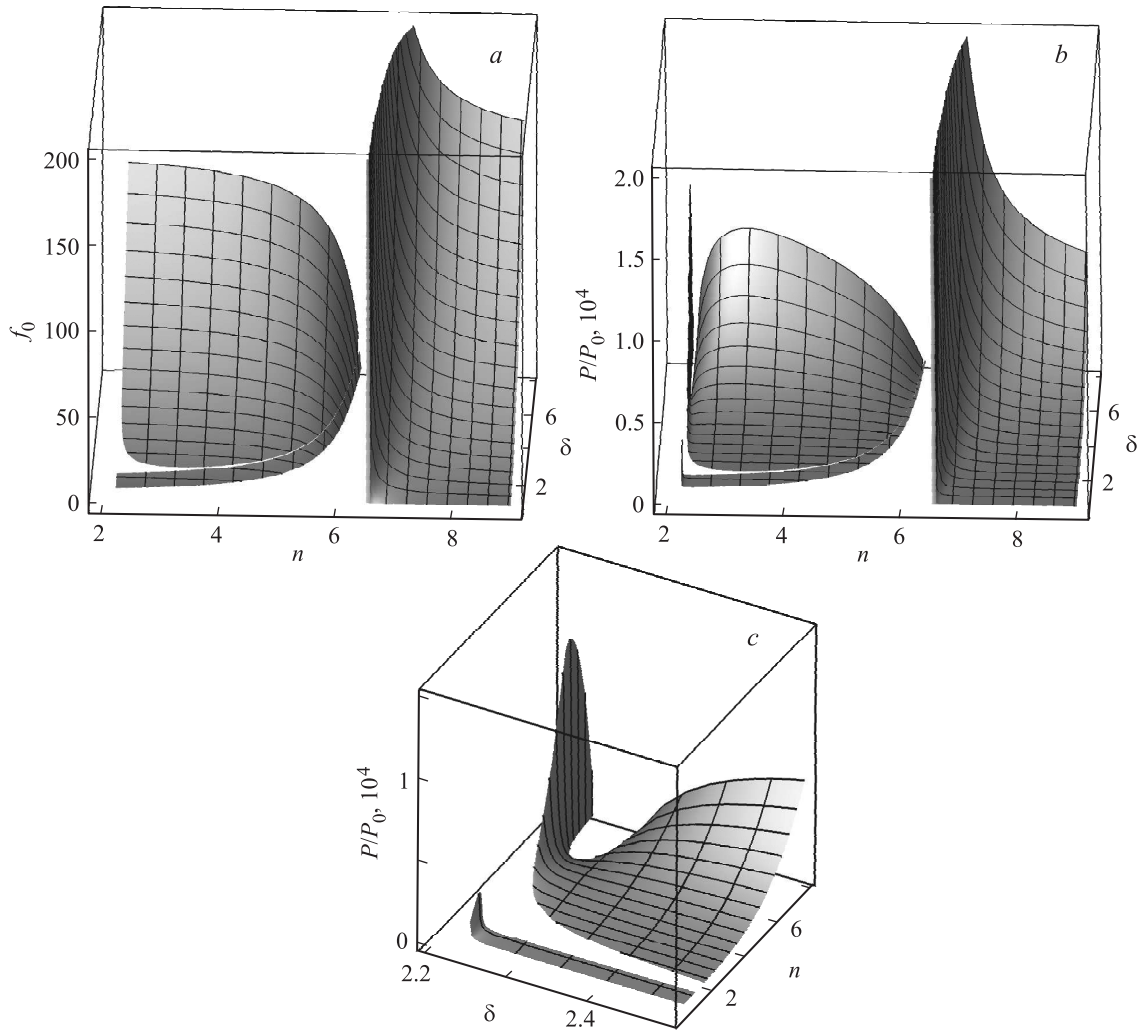
**Рис. 5.** Закон дисперсии (*a*) и поток энергии (*b*) симметричных ТЕ-поляризованных четных квазиповерхностных волн при значениях параметров  $\epsilon_0 = -7, \epsilon_\infty = 5, D = 0.3$ .



**Рис. 6.** Поток энергии симметричных ТЕ-поляризованных нечетных квазиповерхностных волн при значениях параметров  $\epsilon_0 = -7$ ,  $\epsilon_\infty = 5$ ,  $D = 0.001$ .

ется резкое убывание  $P(\delta, n)$  при малых значениях расстройки резонанса  $\delta$ . При увеличении значений  $\delta$  кривые  $P(n)$  характеризуются монотонным убыванием (рис. 7, *b*). Величина потока переносимой энергии зависит от расстройки резонанса  $\delta$ . Дальнейшее увеличение толщины  $D$  линейной пластинки приводит к изменению поведения кривых закона дисперсии квазиповерхностной нечетной моды. Закон дисперсии и поток существуют в одной и той же области. Закон дисперсии не зависит от  $n$  и характеризуется монотонным возрастанием кривых  $f_0(n)$ . Что касается потока, то он очень быстро убывает с ростом  $n$  в области больших значений  $\delta$ . Это убывание существенно замедляется при больших  $n$ .

Если сравнить полученные нами результаты с результатами работы [13], в которой исследовались новые нелинейные поверхностные и направляемые ТЕ-волны в асимметричных левосторонних волноводах с керровской нелинейностью, то можно отметить, что в [13] структура законов дисперсии является непрерывной при любых значениях полей на границе раздела и толщинах



**Рис. 7.** Закон дисперсии (*a*) и поток энергии (*b, c*) симметричных ТЕ-поляризованных нечетных квазиповерхностных волн при значениях параметров  $\epsilon_0 = -7$ ,  $\epsilon_\infty = 5$ ,  $D = 0.207$ .

сердцевины. Аналогичные результаты получены в [8]. Это обусловлено гладкой зависимостью от поля диэлектрической функции керровской среды [8,13]. В нашем случае нелинейность имеет резонансный характер в зависимости от интенсивности распространяющейся волны. Именно это обстоятельство ответственно за формирование разрывов в законах дисперсии и зависимостях потока от расстройки резонанса.

#### 4. Заключение

Изучены законы дисперсии и потоки переносимой энергии  $s$ -поляризованными нелинейными квазиповерхностными модами, которые распространяются в трехслойной структуре с сердцевиной из метаматериала и нелинейными обкладками. Нелинейность обкладок обусловлена взаимодействием экситонов и биэкситонов со светом и обнаруживает резонансное по полю поведение диэлектрической функции, которое существенно отличается от керровских нелинейностей. Полученные законы дисперсии существенно зависят от потока переносимой энергии и толщины линейной пластинки. Предсказываются эффекты разрывов законов дисперсии и возникновение областей запрещенных значений расстроек резонанса  $\delta$ .

Автор выражает благодарность А.В. Коровой за помощь в подготовке к публикации материалов и организации численного эксперимента.

#### Список литературы

- [1] Л.И. Мандельштам. ЖЭТФ **15**, 475 (1945).
- [2] В.Г. Веселаго. УФН **92**, 517 (1967).
- [3] Д.В. Сивухин. Опт. и спектр. **3**, 308 (1957).
- [4] J.B. Pendry. Phys. Rev. Lett. **85**, 3966 (2000).
- [5] В.К. Агранович, В.Л. Гинзбург. Кристаллооптика с учетом пространственной дисперсии и теория экситонов. Наука, М. (1965). 188 с.
- [6] В.М. Агранович, Ю.Н. Гартштейн. УФН **176**, 1057 (2006).
- [7] А.Б. Маненков. Изв. вузов. Прикладная нелинейная динамика **18**, 6, 93 (2010).
- [8] I.V. Shadrivov, A.A. Sukhorukov, Y. Kivshar. Phys. Rev. E **67**, 057 602 (2003).
- [9] I.V. Shadrivov, A.A. Sukhorukov, Y. Kivshar, A.A. Zharov, A.D. Boardman, P. Egan. Phys. Rev. E **69**, 016 617 (2004).
- [10] M. Scalora, M.S. Syrchin, N. Akozbek, E.Y. Poliakov, A.M. Zheltikov. Phys. Rev. Lett. **95**, 013 902 (2005).
- [11] S. Wen, Y. Xiang, X. Dai, Z. Tang, W. Su, D. Fen. Phys. Rev. A **75**, 033 815 (2007).
- [12] N. Lazarides, G.P. Tsironic. Phys. Rev. E **71**, 036 614 (2005).
- [13] A.D. Boardman, P. Egan. J. Opt. A **11**, 114 032, (2009).
- [14] N.M. Litchinitser, I.R. Gabitov, A.I. Maimistov, V.M. Shalaev. Progr. Opt. **51**, 1 (2007).
- [15] A.I. Maimistov, I.R. Gabitov. Eur. Phys. J. Special Topics **147**, 265 (2007).
- [16] А.И. Маймистов, И.Р. Габитов. Изв. РАН. Сер. физ. **72**, 744 (2008).
- [17] I.R. Gabitov, A.O. Korotkevich, A.I. Maimistov, J.B. McMahon. Lect. Notes Phys. **751**, 337 (2008).
- [18] П.И. Хаджи, Е.С. Киселева. ЖТФ **57**, 395 (1987).
- [19] П.И. Хаджи, К.Д. Ляхомская. Квантовая электроника **29**, 43 (1999).
- [20] О.В. Коровай, П.И. Хаджи. ФТТ **45**, 386 (2003).
- [21] О.В. Коровай, П.И. Хаджи. ФТТ **45**, 750 (2003).
- [22] П.И. Хаджи. Нелинейные оптические процессы в системе экситонов и биэкситонов в полупроводниках. Штиинца, Кишинев (1985). 231 с.
- [23] П.И. Хаджи, Г.Д. Шибаршина, А.Х. Ротару. Оптическая бистабильность в системе когерентных экситонов и биэкситонов в полупроводниках. Штиинца, Кишинев (1988). 119 с.